

## Detectores invariantes locales

Jorge A. Sánchez  
jsanchez@scdt.frc.utn.edu.ar



2 de Diciembre de 2011

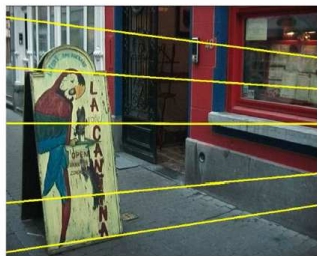
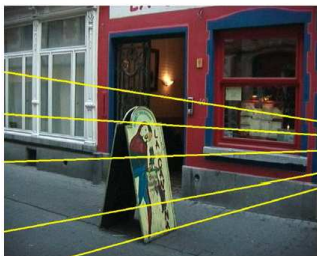
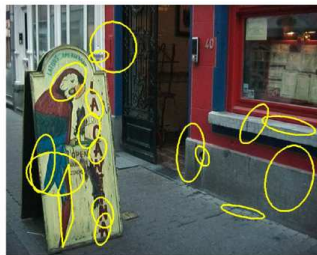
**Motivación:** lograr un mayor nivel de robustez frente a cambios en la apariencia visual de los objetos/escena.

## Aplicaciones:

- Estéreo de línea base amplia
- Reconocimiento de instancias particulares de objetos
- Reconstrucción de escenas a partir de fotografías
- Localización basada en apariencias
- ...

# Aplicaciones

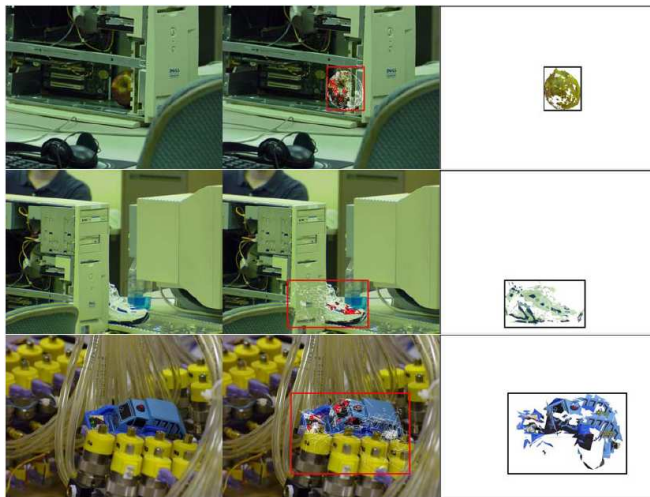
## Estéreo de línea base amplia



[Tuytelaars and Van Gool, 2004]

# Aplicaciones

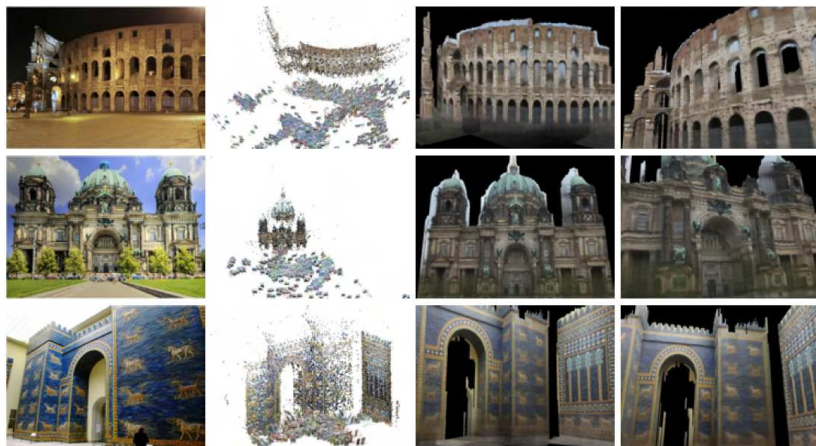
## Reconocimiento de instancias particulares de objetos



[Rothganger et al., 2006]

# Aplicaciones

## Reconstrucción de escenas a partir de fotografías



[Frahm et al., 2010]



[Cummings and Newman., 2010]

- **Local**, a fin de lidiar con oclusiones parciales y *background clutter*
- **Invariante/covariante** respecto de un conjunto de transformaciones determinado
- **Robusto** frente al ruido, *blur*, discretización, compresión, etc.
- **Preciso** en su localización
- **Eficiente** a fin de permitir operación en tiempo real

- **Invarianza:** la medición no cambia con la transformación

$$T(x) \sim T(Ax) \quad (1)$$

- **Covarianza:** la medición cambia de manera consistente con la transformación

$$T(Ax) \sim AT(x) \quad (2)$$

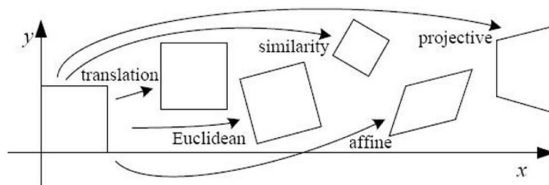
Ejemplos:

el área de una superficie 2D es invariante ante rotaciones

la orientación del eje mayor de un elipse es covariante ante rotaciones (A: rotación,  $T(\cdot)$ : eje mayor del elipse)



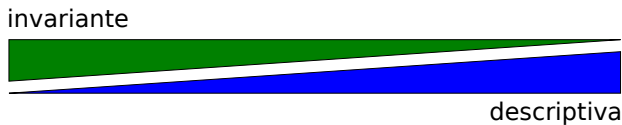
## Geométricas:



## Fotométricas:



- **invariante:** la misma respuesta aun frente a transformaciones de la imagen
- **discriminativo:** identificar una característica determinada de manera precisa



*El nivel de invarianza depende de la aplicación!*

- basado en la matriz de segundos momentos (SMM) / tensor de estructura / matriz de autocorrelación

$$M = g(\sigma_I) * \begin{pmatrix} I_x^2(\mathbf{x}, \sigma_D) & I_x(\mathbf{x}, \sigma_D)I_y(\mathbf{x}, \sigma_D) \\ I_x(\mathbf{x}, \sigma_D)I_y(\mathbf{x}, \sigma_D) & I_y^2(\mathbf{x}, \sigma_D) \end{pmatrix}$$

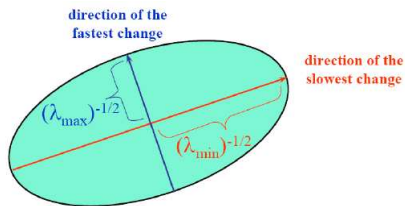
en donde:

$$I_x(\mathbf{x}, \sigma) = \frac{\partial}{\partial x}(g(\sigma) * I) = \left( \frac{\partial}{\partial x}g(\sigma) \right) * I$$

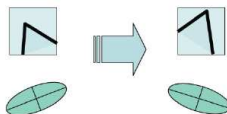
$$g(\sigma) = \frac{1}{2\pi\sigma^2} \exp\left(-\frac{x^2 + y^2}{2\sigma^2}\right), \quad \mathbf{x} = (x, y)^T$$



$M$  caracteriza la distribución del gradiente en un entorno local del punto. La forma cuadrática  $\mathbf{x}^T M \mathbf{x}$  se puede asociar a un elipse:

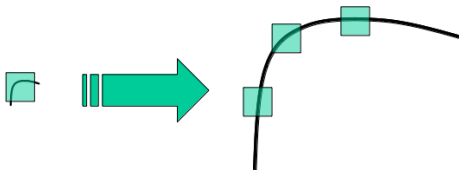


Si bien  $M$  cambia con rotaciones, no así sus autovalores  $\Rightarrow$  la medida de Harris es invariante ante rotaciones de la imagen



**Iluminación:** covariante ante transformaciones afines

**Escala:** esquina o borde de acuerdo a la ventana de observación  
(escala de integración,  $\sigma_I$ )!



*⇒ sería deseable adaptar la “escala” de los operadores a la estructura local de la imagen.*

La representación  $L : \mathbb{R}^2 \times \mathbb{R}_+ \rightarrow \mathbb{R}$  de una imagen  $f : \mathbb{R}^2 \rightarrow \mathbb{R}$  mediante un espacio-escala se obtiene como solución de la ecuación de difusión:

$$\begin{aligned}\partial_t L &= \frac{1}{2} \nabla^2 L \\ L(\cdot; 0) &= f\end{aligned}$$

cuya solución está dada por

$$L(\mathbf{x}; t) = \int f(\mathbf{x} - \eta) g(\mathbf{x}; t) d\eta$$

con  $g(\mathbf{x}; t)$  el núcleo Gaussiano de parámetro  $\sigma = \sqrt{t}$ .



de (izq.,arriba) a (der.,abajo): imagen original, espacio-escala para  $t = 1, 8, 64$  respectivamente.



**Ejemplo 1D:** considérese la función:

$$f(x) = \sin(\omega_0 x)$$

con  $w_0 = 2\pi/\lambda_0$ . Se puede demostrar que:

$$L(x; t) = e^{-\omega_0^2 t/2} \sin(\omega_0 x)$$

La amplitud de la representación:

$$L_{\max}(t) = e^{-\omega_0^2 t/2},$$

así como la de su derivada espacial de orden  $m$ :

$$L_{x^m, \max}(t) = \omega_0^m e^{-\omega_0^2 t/2},$$

decrecen exponencialmente con la escala.

Introdúzcase el concepto de *derivada normalizada*, definida como:

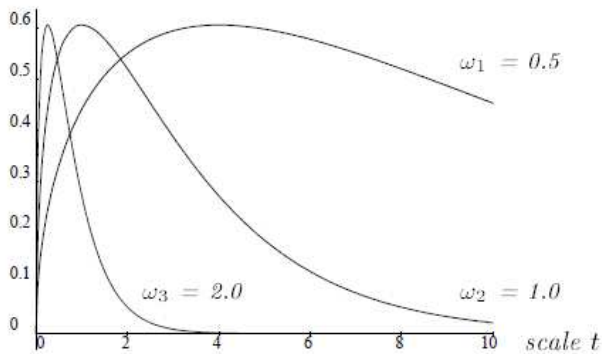
$$\partial_{\xi^m, \text{norm}} = t^{m/2} \partial_x^m$$

La amplitud de la derivada *normalizada* de orden  $m$  resulta:

$$L_{\xi^m, \text{max}}(t) = t^{m/2} \omega_o^m e^{-\omega_o^2 t/2},$$

que corresponde a una función que crece y luego decrece.

$$L_{\xi, max}(t)$$



$L_{\xi^m, \max}$  alcanza un máximo (en este caso único) en:

$$t_{max} = \frac{m}{\omega_0^2}$$

o, en forma equivalente, en

$$\sigma_{max} = t_{max} = \frac{\sqrt{m}}{2\pi} \lambda_0$$

$\Rightarrow$  la ubicación del máximo es proporcional a la “escala” de la función.

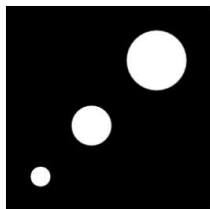
En  $t_{max}$ , el valor de  $L_{\xi^m, \max}$  resulta

$$L_{\xi^m, \max}(t_{max}) = m^{m/2} e^{-m/2}$$

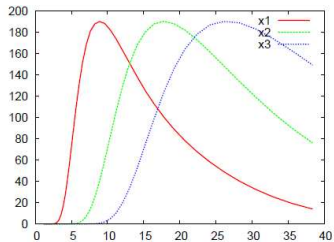
$\Rightarrow$  la magnitud del máximo es independiente de  $\omega_0$ .

Dada una imagen y su representación mediante un espacio-escala, la idea de la “selección automática de escalas” para un punto dado  $x \in \mathbb{R}^2$ , consiste en asignar al mismo una *escala característica* que en algún sentido refleje la extensión espacial de la estructura a la que pertenece.

**Principio de selección automática de escalas** [Lindeberg, 1998]:  
*se asume como “escala característica” la ubicación en escalas del máximo local de una combinación (posiblemente no lineal) de derivadas normalizadas.*



(a)



(b)

Figura 1: Evolución en la magnitud del Laplaciano  $\gamma$ -normalizado con la escala para estructuras (blobs) de diferente tamaño, computada en sus centros respectivos,  $x_i$  ( $i=1,2,3$ ).

Invarianza rotacional + escala  $\Rightarrow$  operadores diferenciales normalizados rotacionalmente simétricos

**Laplaciano normalizado (LoG)** (blobs)

$$\nabla_{norm}^2 L = t(L_{xx} + L_{yy})$$

**Determinante del Hessiano** (blobs, puntos de ensilladura)

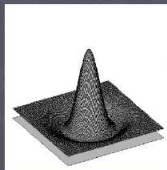
$$\det(\mathcal{H}_{norm} L) = t^2(L_{xx}L_{yy} - L_{xy}^2)$$

**Diferencia de Gaussianas (DoG)** (blobs, aproximación a LoG)

$$\nabla_{norm}^2 L(\cdot; t_n) \approx L(\cdot; t_n) - L(\cdot; t_{n-1}) \quad (t_n = st_{n-1})$$

Detección: máximos locales en la respuesta espacial y en escala.

Local maxima in scale space of Laplacian of Gaussian LoG

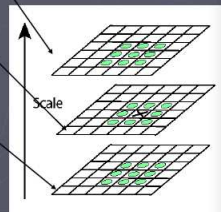
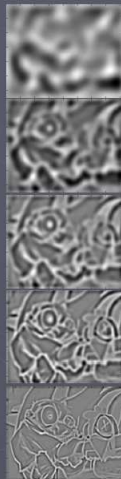


$$L_{xx}(\sigma) + L_{yy}(\sigma) \rightarrow \sigma^3$$

$\sigma^4$

$\sigma^2$

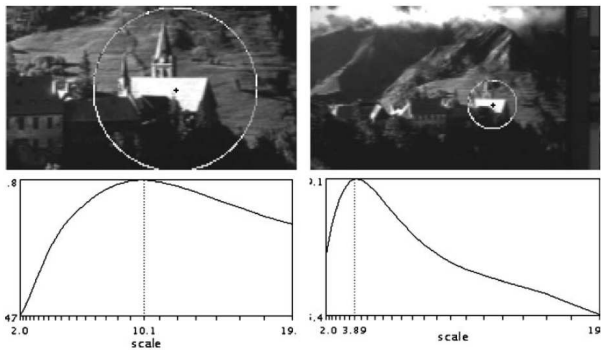
$\sigma$



list of (x, y,  $\sigma$ )

T. Tuytetaars, ECCV'06 Local Invariant Features Tutorial





### SMM-normalizada

$$M_{norm} = t_D g(t_I) * \begin{pmatrix} L_x^2(\mathbf{x}, t_D) & L_x(\mathbf{x}, t_D)L_y(\mathbf{x}, t_D) \\ L_x(\mathbf{x}, t_D)L_y(\mathbf{x}, t_D) & L_y^2(\mathbf{x}, t_D) \end{pmatrix}$$

$t_D$ : escala de derivación

$t_I$ : escala de integración. Por lo general  $t_D = st_I$ ,  $s \leq 1$

### Detector Harris-Laplace:

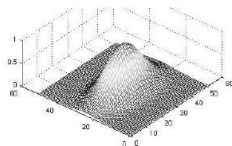
- Selección de  $t_I$  utilizando LoG
- Máximos locales (espaciales) en  $R_{norm} = \det(M_{norm}) - k(\text{trace}(M_{norm}))^2$
- (opcional) Refinamiento iterativo



*⇒ es posible contemplar cambios en la estructura más allá de la escala?*

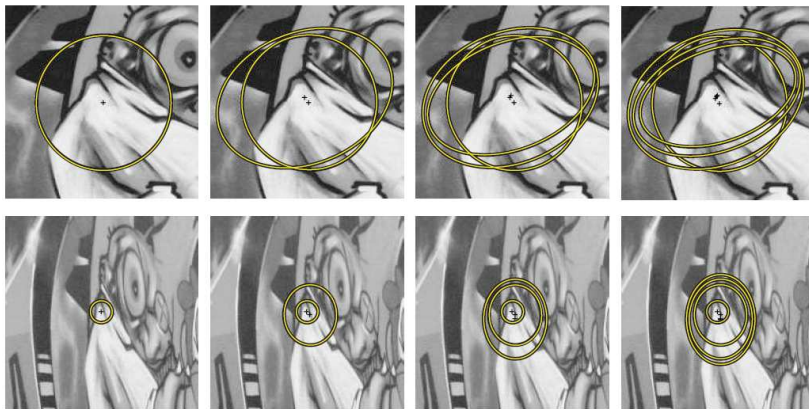
**Espacio-escala afín:** resulta de relajar la isotropía del núcleo Gaussiano

$$g(\cdot; \Sigma) = \frac{1}{2\pi\sqrt{\det(\Sigma)}} \exp\left(-\frac{1}{2}\mathbf{x}^x \Sigma^{-1} \mathbf{x}\right) \quad (3)$$

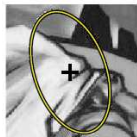


**SMM afín:**  $M_{afin} = \det(\Sigma_D)g(\Sigma_I) * \left((\nabla L(\cdot; \Sigma_D))(\nabla L(\cdot; \Sigma_D))^T\right)$

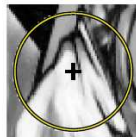
**Adaptación afín:** utilizar  $M_{afin}$  para estimar la estructura afín asociada a una región de la imagen [Lindeberg and Gaerding, 1997]



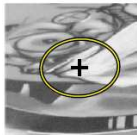
⇒ *transformación estimada hasta una rotación arbitraria*



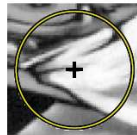
$$\mathbf{x}_L \longrightarrow M_L^{-1/2} \mathbf{x}'_L$$



$$\begin{array}{c} \downarrow \\ \mathbf{x}'_L \longrightarrow R\mathbf{x}'_R \\ \downarrow \end{array}$$



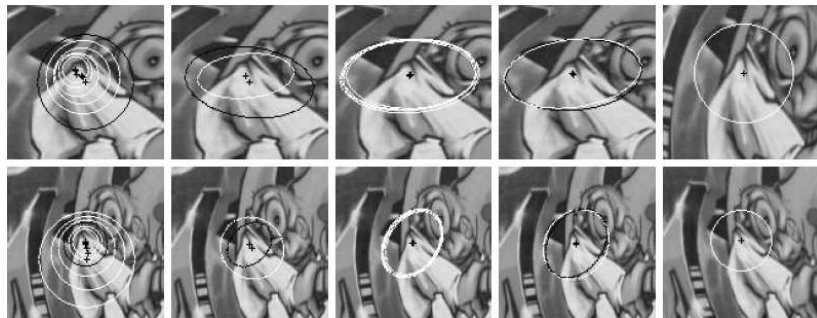
$$\mathbf{x}_R \longrightarrow M_R^{-1/2} \mathbf{x}'_R$$



$\Rightarrow$  *Solución: asignar una orientación basada en alguna propiedad local (p.ej. distribución de la orientación del gradiente espacial)*

### Detector Harris-affine:

- Detección de puntos de Harris multiescala
- Selección de escalas usando LoG
- Adaptación afín usando  $M_{afin}$
- Refinar la ubicación espacial del punto



# Detectores coveriantes afines

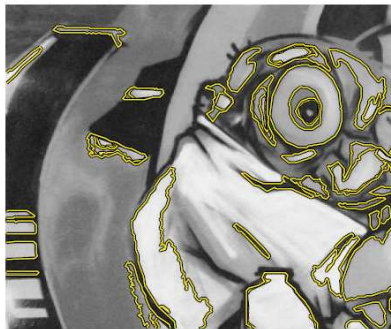
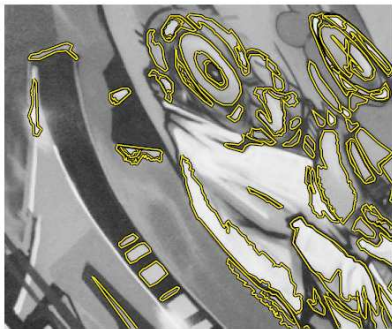
## Detector Harris-affine



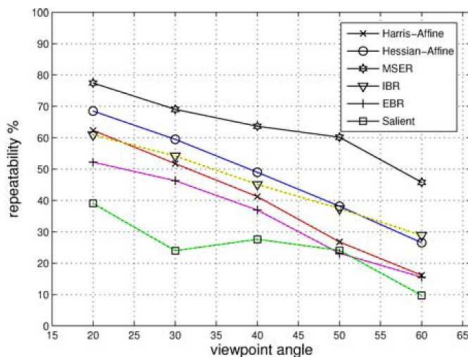


### Maximally Stable Extrema Regions (MSER)

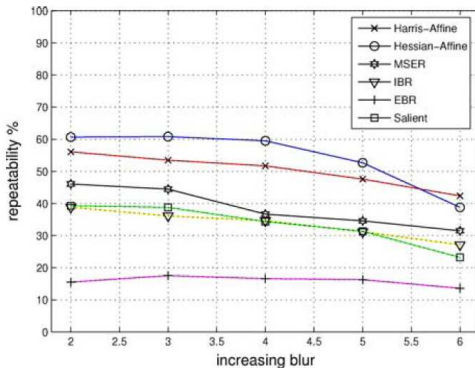
- Basados en algoritmo de *watershed*
- Regiones estables al aplicar umbrales graduales



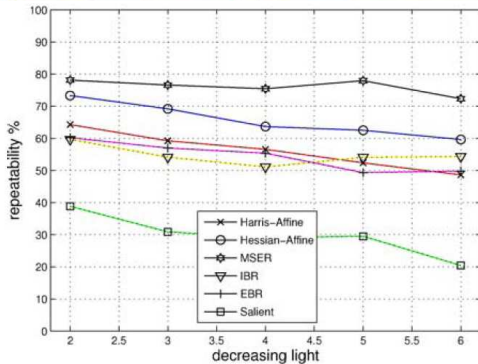
*Criterio:* repetibilidad (puntos de vista, zoom+rotación, blur, compresión JPEG, iluminación) [Mikolajczyk et al. 2005]



*Criterio:* repetibilidad (puntos de vista, zoom+rotación, blur, compresión JPEG, iluminación) [Mikolajczyk et al. 2005]



*Criterio:* repetibilidad (puntos de vista, zoom+rotación, blur, compresión JPEG, iluminación) [Mikolajczyk et al. 2005]



## Conclusiones:

- Complementariedad entre detectores
- El rendimiento depende del tipo de escena
- Mayor nivel de invarianza  $\Rightarrow$  mayor complejidad computacional
- Muchos (realmente muchos) detectores en la literatura

## Otras estrategias:

- Pirámides de resolución
- Muestro aleatorio
- Muestro regular